

شبیه سازی عددی رفتار یک سد سنگریزه‌یی بلند با در نظر گرفتن پدیده‌ی شکست ذرات

علی اخترپور^{*} (استاد بار)

مرتضی سالاری (دانشجوی دکتری)

دانشکده‌ی هنдрی عمار، دانشگاه فردوسی

در مصالح سنگریزه‌یی، پدیده‌ی خردشدنگی ذرات می‌تواند مشخصات تغییر شکلی و مقاومتی این مصالح را به شدت تحت تأثیر قرار دهد. در سدهای سنگریزه‌یی با ارتفاع زیاد، تغییر شکل‌های بزرگی ناشی از پدیده‌ی ذکور می‌تواند اتفاق افتد و لذا یک مدل عددی مناسب برای مصالح سنگریزه‌یی باید قابلیت مدل‌سازی کرنش‌های حجمی زیاد ناشی از پدیده‌ی شکست ذرات را داشته باشد. به عنوان نمونه، آزمایش‌های بزرگ مقیاس سه‌محوری مصالح سنگریزه‌یی سد مسجد سلیمان، پتانسیل خردشدنگی ذرات بالای این مصالح را نشان می‌دهد. در نوشتار حاضر، با ارتقاء و اصلاح یک مدل رفتاری کشسان خمیری سخت‌شونده/نرم‌شونده شناخته شده بر پایه‌ی پارامترهای بسیج شده در برنامه‌ی FLAC، ابتدا آزمایش‌های سه‌محوری بزرگ مقیاس مصالح سنگریزه‌یی سد مسجد سلیمان با دقت مناسبی مدل‌سازی شده و پارامترهای مصالح به دست آمده‌اند. سپس مدل عددی تفاصل محدود سه‌بعدی سد در دوران ساخت بر مبنای پارامترهای حاصل شده ساخته شده است. تطابق مناسب مقادیر محاسبه شده و اندازه‌گیری شده‌ی کمیت‌های تغییر شکلی و تنشی، حکایت از دقت مناسب این مدل رفتاری در شبیه‌سازی پدیده‌ی شکست ذره‌یی مصالح سنگریزه‌یی دارد.

واژگان کلیدی: شکست ذرات، مصالح سنگریزه‌یی، مدل رفتاری سخت‌شونده/نرم‌شونده، آزمایش سه‌محوری بزرگ مقیاس.

۱. مقدمه

سنگریزه‌یی، پدیده‌ی خردشدنگی با شکست ذرات است. مطالعات آزمایشگاهی انجام شده‌ی پیشین، حکایت از تأثیر قابل توجه شکست ذرات در بیشتر خصوصیات ریوتکنیکی آن‌ها نظیر مقاومت برشی، تغییر شکل‌پذیری، [۲۶-۲۲، ۱۲، ۱۰، ۵] توزیع فشار آب منفذی (در شرایط زهکشی نشده)، نفوذپذیری، [۲۱، ۲۰] ... دارد. تاکنون تلاش‌های با ارزشی برای منظور کردن آثار این پدیده در مدل‌های رفتاری با کمک مفهوم دست‌خوردگی، [۲۸] و یا در چارچوب حالت بحرانی، [۲۰، ۲۴] صورت پذیرفته است. در پژوهش حاضر سعی شده است با پیشنهاد یک تابع اتساع بسیج شده برای تابع پتانسیل یک مدل کشسان خمیری سخت‌شونده/نرم‌شونده (با سطح تسلیم موهر-کولمب) گنجانده شده در برنامه‌ی تفاصل محدود FLAC، [۲۱] این مدل به گونه‌ی ارتقاء یابد تا بتواند آثار پدیده‌ی خردشدنگی (تحت برش) ذرات را در رفتار تغییر شکلی و مقاومتی مصالح سنگریزه‌یی به کار برده شده در بدنه‌ی یک سد سنگریزه‌یی بلند به خوبی شبیه‌سازی کند. علاوه بر این، جهت شبیه‌سازی بهتر رفتار غیرخطی و سخت‌شونده‌ی مصالح سنگریزه‌یی، تغییرات همگام با تنش همه‌جانبه‌ی سختی، زاویه‌ی اصطکاک و زاویه‌ی اتساع به صورت توابعی در مدل مذکور گنجانده شده است.

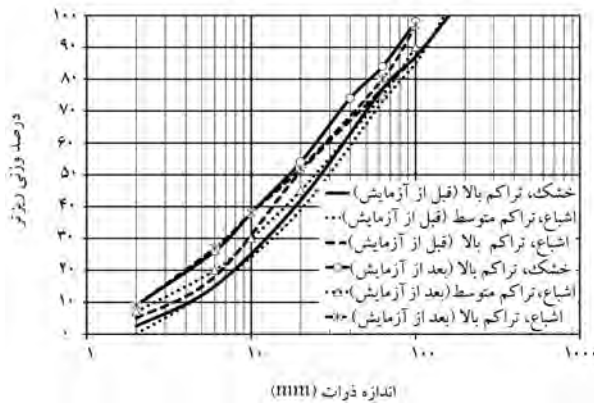
سد مسجد سلیمان که در جنوب شرقی ایران واقع است، یک سد سنگریزه‌یی با

مصالح سنگریزه‌یی شامل ذرات درشت دانه‌ی شکسته حاصل از انفجار در معادن قرضه و یا ذرات گرد شده و یا تقریباً گرد گوشه‌ی موجود در بستر رودخانه‌ها هستند. از گذشته تا کنون، استفاده از این مصالح در بدنه‌ی سدهای سنگریزه‌یی، پی‌سازی راه‌ها و ... بسیار متداول بوده است. تعیین پارامترهای مقاومتی و تغییر شکلی مصالح سنگریزه‌یی در شرایط برشی، با آزمایش سه‌محوری بزرگ مقیاس از اقدامات مرسوم در طراحی و رفتارسنجی این گونه سازه‌ها است. [۱۳-۱] مدل‌های رفتاری متعددی شیوه‌سازی رفتار مصالح دانه‌ی پیشنهاد شده است نظیر مدل کشسان غیرخطی، [۱۱] مدل کشسان خمیری سخت‌شونده، [۱۷-۱۵] مدل کشسان خمیری برای مصالح با نرم‌شوندگی کرنش. [۱۸] در گذشته، رفتار مصالح سنگریزه‌یی بیشتر براساس مدل‌های کشسان خطی یا غیرخطی مدل‌سازی شده است، [۱۰] اما تاکنون پیشرفت‌های عمده‌ی برای مدل‌سازی دقیق‌تر مصالح ذکر شده بر مبنای نظریه‌ی خمیری انجام شده است. [۲۳-۲۱]

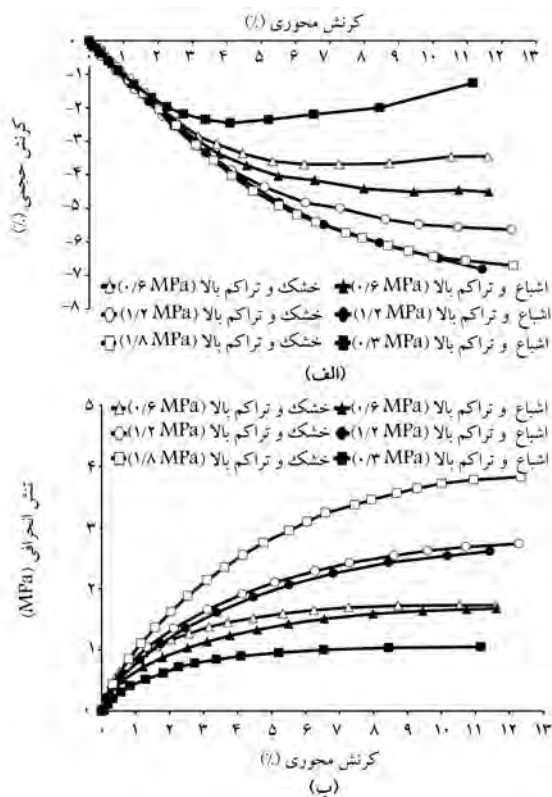
یکی از مهم‌ترین پدیده‌های مؤثر در رفتار مصالح دانه‌یی و به خصوص مصالح

* نویسنده مسئول

تاریخ: دریافت ۶، ۱۳۹۴، / اصلاحیه ۱۱، ۱۳۹۴، پذیرش ۲۰، ۱۰، ۱۳۹۴.



شکل ۱. منحنی دانه‌بندی نمونه‌ها قبل و بعد از آزمایش تحت تنش همه‌جانبه‌ی ۱,۲ مگاپاسگال.



شکل ۲. منحنی‌های آزمایش‌های سه‌محوری زهکشی شده روی نمونه‌های خشک و اشباع با تراکم بالا.

شکست مارشال،^[۱] ارزیابی می‌شود. شاخص شکست مارشال، برای یک نمونه در آزمایش از طریق الک‌کردن مصالح نمونه با یک دسته الک ۵۰ تا ۵۰ میلی‌متر) قبل و بعد از آزمایش محاسبه می‌شود. درصد ذرات باقیمانده روی هر الک در هر دو موقعیت اندازه‌گیری می‌شود. بعد از آزمایش به علت شکست ذرات، درصد ذرات باقیمانده روی الک‌های با اندازه‌ی بزرگ کاهش و درصد ذرات باقیمانده روی الک‌های با اندازه‌ی کوچک افزایش می‌یابد. درصد مجموع کاهش‌ها برابر با درصد مجموع افزایش‌ها است. مجموع کاهش (یا افزایش)، مقدار شاخص شکست مارشال است. ستون آخر در جدول ۱ نشان می‌دهد که شکست ذرات می‌تواند حتی در فشارهای جانبه‌ی کم اتفاق افتد. این واقعیت در تطبیق با مطالعات پیشین است.^[۳۶-۳۷]

هسته‌ی مرکزی رسی بسیار بلند با ارتفاع ۱۷۸ متر است که در نوامبر سال ۲۰۰۰ ساخت آن به پایان رسیده و تا ژوئن ۲۰۰۲، اولین آبگیری آن تکمیل شده است. یک سری آزمایش‌های سه‌محوری بزرگ مقیاس روی مصالح سینگریزه‌ی پوسته‌ی سد مذکور انجام شده است.^[۲۱] این آزمایش‌ها پتانسیل بالای شکست ذره‌ی مصالح سینگریزه‌ی است، انتظار می‌رود پدیده‌ی شکست ذره‌ی تأثیر قابل توجهی در رفتار سد داشته باشد. همان‌طور که ذکر شده است، در نوشتار حاضر برای شبیه‌سازی رفتار مصالح سینگریزه‌ی از یک مدل رفتاری کنسسان خمیری ساخت شونده/نمودنده استفاده شده است. این مدل براساس مدل رفتاری موهر-کولمب توسعه یافته است، به‌گونه‌ی که پس از اولین تسلیم، زاویه‌ی اصطکاک، چسبندگی، زاویه‌ی اتساع و مقاومت کششی با تغییرات کرنش برای خمیری می‌توانند کاهش یابند. برای شبیه‌سازی رفتار تغییر حجم مصالح زوتکنیکی تحت برش، رابطه‌ی برای زاویه‌ی اتساع بسیج شده توسط پیشنهاد شده است.^[۲۲] پژوهش حاضر نشان می‌دهد که رابطه‌ی مذکور دقت مناسبی را در شبیه‌سازی تغییر حجم مصالح با پتانسیل قابل توجه شکست ذرات ندارد. لذا در نوشتار حاضر رابطه‌ی پیشنهادی کارایی مناسبی در زاویه‌ی اتساع بسیج شده پیشنهاد شده است. رابطه‌ی پیشنهادی کارایی مناسبی در شبیه‌سازی تغییر حجم در شرایط برش برای مصالح با پتانسیل بالای شکست ذره‌ی دارد. این رابطه دو پارامتر دارد و با انجام آنالیز برگشتی بر روی داده‌های آزمایش‌های سه‌محوری تعیین می‌شوند. در انتهای پژوهش، کارایی مدل رفتاری اصلاح یافته با مدل سازی سه‌بعدی تفاضل محدود رفتار پوسته‌های سینگریزه‌ی سد مسجد سلیمان ارزیابی شده است. نتایج مؤید دقت مناسب مدل رفتاری اصلاح یافته مذکور در برآورد تغییر شکل‌های ناشی از شکست ذره‌ی مصالح پوسته‌های این سد است.

۲. آزمایش‌های سه‌محوری بزرگ مقیاس

مصالح سینگریزه‌ی انتخاب شده برای آزمایش‌های سه‌محوری شامل مصالح شکسته حاصل از انفجار آزمایشی در معدن سنگ سد مسجد سلیمان بوده است. این مصالح از جنس کنگلومرا با سیمان آهکی مقاوم است. پس از اصلاح دانه‌بندی به روش دانه‌بندی موادی آزمایش‌های سه‌محوری بر روی نمونه‌هایی با قطر و ارتفاع ۸۰ سانتی‌متر در دانشگاه کالسروهه آلمان صورت گرفته است. منحنی دانه‌بندی مصالح قبل و بعد از آزمایش در شکل ۱ ارائه شده است. آزمایش‌ها در ۳ حالت: بسیار متراکم خشک، بسیار متراکم اشباع و تراکم متوسط اشباع صورت گرفته است. کلیه‌ی نمونه‌ها ابتدا تحت فشار جانبه‌ی تحکیم شده است و سپس در شرایط زهکشی شده تا کرنش محوری ۱۲٪ تحت بار انحرافی قرار گرفته است.

۲.۱. نتایج آزمایش‌ها

در شکل‌های ۲ و ۳، منحنی‌های تنش انحرافی و کرنش حجمی در برابر کرنش موحوری ارائه شده است. همچنین در جدول ۱، چگالی خشک (ρ)، ضریب یکنواختی (C_s)، قطر کمینه‌ی دانه (d_{min})، قطر بیشینه‌ی دانه (d_{max})، بیشینه‌ی کرنش حجمی در تنش برشی، بیشینه‌ی حجمی در تنش برشی بیشینه (q_{Vmax})، نسبت تنش انحرافی بیشینه به تنش جانبه‌ی ($\frac{q_{Vmax}}{\sigma_s}$)، زاویه‌ی اصطکاک داخلی در تنش برشی بیشینه (φ_p) و ضریب شکست مارشال (B_g) نشان داده شده است. روش‌های متعددی برای تخمین پتانسیل شکست ذرات تاکنون توسط برخی پژوهشگران ارائه شده است.^[۲۳-۲۴] اما معمولاً شکست ذرات با استفاده از شاخص

جدول ۱. مشخصات و نتایج آزمایش های سه محوری تحکیم یافته هی زهکشی شده بر روی مصالح سنگریزه بی.

B_g	φ_p (deg)	$(\frac{q_{max}}{\sigma_3})$	$(\varepsilon_V)_{q_{max}}$ (%)	σ_3 (MPa)	d_{max} (mm)	d_{min} (mm)	C_u	$\rho(\frac{g}{cm^3})$	مشخصات
۵۴,۵	۴۷,۹	۵,۷۷	-۳,۴۶	۰,۶	۱۶۰	۲	۷,۲	۲	خشک و با تراکم بالا
	۴۳,۵	۴,۴۱	-۵,۴۹	۱,۲					
	۴۲,۴	۴,۱۳	-۶,۴۴	۱,۸					
۳۲	۵۰,۸	۶,۹۸	-۲	۰,۳	۱۶۰	۲	۷,۵	۲	اشباع و با تراکم بالا
	۴۷,۱	۵,۵	-۴,۴۳	۰,۶					
	۴۲,۵	۴,۱۶	-۶,۴	۱,۲					
۲۳	۴۷,۷	۵,۶۷	-۲,۲	۰,۳	۱۵۰	۲	۸,۹۵	۱,۸	اشباع و با تراکم متوسط
	۴۳,۷	۴,۴۷	-۵,۱	۰,۶					
	۴۰,۱	۳,۶۲	-۶,۶۷	۱,۲					

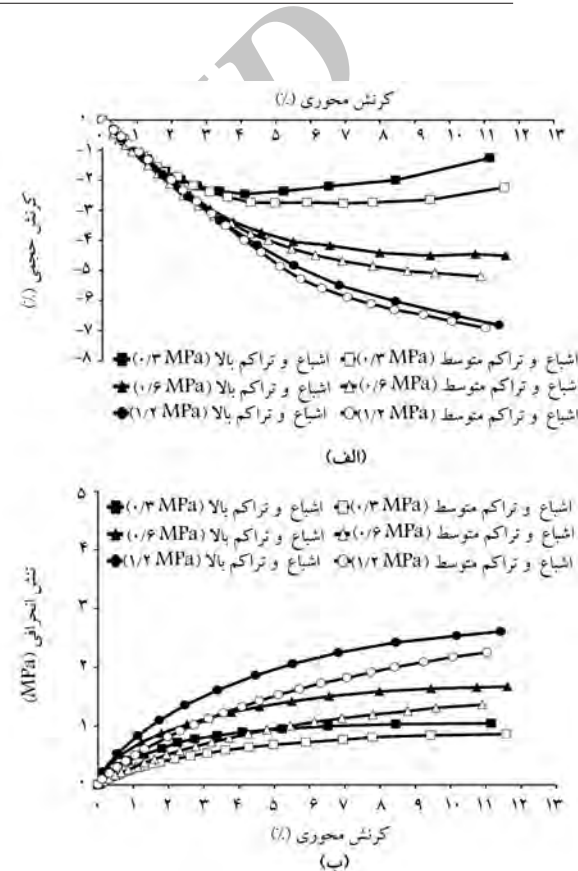
به شکل ۳ و همچنین ستون آخر جدول ۱، مقایسه هی بین نمونه هایی که در ابتدا اشباع شده اند با نمونه های آزمایش شده در شرایط خشک نشان می دهد که در یک فشار جانبی معین و تراکم برابر، اشباع شدگی اولیه، تأثیر قابل توجهی در شاخص شکست مارشال نداشته است؛ در حالی که کرنش حجمی بیشینه را به میزان قابل توجهی افزایش داده است. این پدیده ناشی از این واقعیت است که اشباع شدگی اولیه می تواند باعث لغزش راحت تر ذرات بر روی یکدیگر شود. لذا مصالح سنگریزه بی در پوسته های سد باید در زمان اجرا با جت آب با حجم زیاد کاملاً مرتبط شوند تا از نشست های زیاد در پوسته باشد در الاست در زمان اولین آبگیری جلوگیری شود، در حالی که به نظر می رسد به این مطلب در اجرا توجه نشده است. لذا برای مصالح سنگریزه بی سازه هایی نظیر سد مسجد سلیمان که با توجه به ستون آخر جدول ۱ و همچنین برخی مطالعات پیشین، [۴۱] [۴۰] شاخص شکست مارشال آن قابل توجه است، یک مدل رفتاری مناسب که بتواند رفتار انقباضی قابل توجه ناشی از شکست ذرات را شیوه سازی کند، می تواند نقش کلیدی در پیش بینی رفتار تغییر شکلی آن سد ایفا کند.

۳. مشخصات مدل رفتاری و اصلاحات آن

یک مدل رفتاری مناسب برای مصالح سنگریزه بی باید قادر باشد مقاومت برشی بیشینه، رفتار سخت شوندگی / نرم شوندگی، تغییر سختی وابسته به تنش همه جانبه و شکست ذرات را در نظر بگیرد. در پژوهش حاضر با اصلاح یک مدل رفتاری سخت شوندگی / نرم شوندگی تغییرات متفاصل محدود FLAC و با استفاده از قابلیت برنامه نویسی FISH که جانده شده در برنامه مذکور، [۴۱] [۴۰] سعی شده است ویژگی های ذکر شده منظور شود. اصلاحات انجام شده شامل: در نظر گرفتن سختی وابسته به تنش، رفتار سخت شوندگی و اتساعی بوده است که در ادامه تشریح شده است.

۱.۳. وابستگی تنشی مدول کشسان

تقریباً در همه مصالح ژئوتکنیکی، وابستگی سختی به تنش همه جانبه مشاهده می شود. رابطه پیشنهادی دانکن و چانک (۱۹۷۰)، [۱۴] برای تعریف این وابستگی



شکل ۳. منحنی های آزمایش های سه محوری زهکشی شده روی نمونه های اشباع با تراکم بالا و متوسط.

برای هر سه حالت با شرایط اولیه متفاوت عموماً با افزایش فشار همه جانبه، شاخص شکست مارشال و کرنش حجمی بیشینه افزایش و زاویه ای اصطکاک بیشینه در بیشینه تنش برشی (۴۰)، به دلیل شکست ذرات کاهش یافته است. در نمونه های اشباع در یک فشار جانبی معین، افزایش چگالی خشک باعث افزایش شاخص شکست ذرات می شود اما مقدار بیشینه کرنش حجمی در حین بارگذاری انحرافی کاهش می یابد (به شکل ۳ توجه شود). این مطلب نشان دهنده ضرورت تراکم مصالح سنگریزه بی در زمان اجرا برای یک سد سنگریزه بی بلند است. با توجه

در سال ۱۲۰، نیز اصلاحاتی به رابطه ψ با تعریف یک پارامتر جدید m و اضافه کردن یک زاویه اصطکاک اولیه (φ_0) به صورت رابطه ψ اعمال شده است.^[۲۲]

$$\sin \varphi_m = \begin{cases} \sin \varphi_0 + \frac{\sqrt{\varepsilon_p^m \times \varepsilon_f^m}}{\varepsilon_p + \varepsilon_f} (\sin \varphi_p - \sin \varphi_0) & \text{for } \varepsilon_p \leq \varepsilon_f \\ \sin \varphi_p & \text{for } \varepsilon_p > \varepsilon_f \end{cases} \quad (7)$$

در این رابطه، ψ کنترل کننده محدوده رفتار کشسان در مصالح است. انتظار می‌رود پارامتر مذکور با افزایش تنش همه‌جانبه کاهش یابد. پارامترهای m و ψ می‌توانند با استفاده از نتایج آزمایش‌های سه‌محوری تعیین شوند. برای مقادیر بزرگتر m با افزایش کرنش برشی خمیری Ep ، زاویه اصطکاک بسیج شده به مقدار کمتری افزایش می‌یابد. وقتی پارامتر m کمتر از ۱ اختخاب شود، هر دو رفتار سخت‌شوندگی و نرم‌شوندگی، فقط با یک رابطه قابل تعریف هستند. در محدوده رفتار کشسان، زاویه اصطکاک بسیج شده همان ψ خواهد بود. در مدل سازی پژوهش حاضر از نتایج زاویه اصطکاک بسیج شده اصلاح شده مهین روستا و علیزاده^[۲۲] استفاده شده است.

۴.۳. رفتار اتساعی

راو [۲۲]، برای محاسبه زاویه اتساع بسیج شده در مصالح ژوتکنیکی روابطی به شرح روابط ۸ و ۹ ارائه کرده است:

$$\sin \psi_m = \frac{\sin \varphi_m - \sin \varphi_{cv}}{1 - \sin \varphi_m \sin \varphi_{cv}} \quad (8)$$

$$\sin \varphi_{cv} = \frac{\sin \varphi_p - \sin \psi_p}{1 - \sin \varphi_p \sin \psi_p} \quad (9)$$

در این روابط، ψ_m و ψ_p به ترتیب زاویه‌های اتساع بسیج شده و اتساع بیشینه هستند. پارامتر φ_{cv} زاویه اصطکاک در حالت تخلخل بحرانی و یا زاویه اصطکاک حجم ثابت مصالح است. این همبستگی آن چنان‌که در ادامه پژوهش حاضر اثبات شده است، دقت کافی در شیوه‌سازی رفتار حجمی مصالح سنجگریزه‌یی با پتانسیل بالای شکست ذرات ندارد. لذا مؤلفان اصلاحاتی را به شرح رابطه ۱۰ پیشنهاد کرده‌اند در این رابطه دو پارامتر جدید، ضریب P و زاویه اتساع اولیه (ψ_0) اضافه شده است:

$$\sin \psi_m = \begin{cases} \sin \psi_m & P.\theta < \psi_0 \\ \sin(P.\theta) & \psi_0 \leq P.\theta \leq \psi_P \\ \sin \psi_p & P.\theta > \psi_P \end{cases} \quad (10)$$

پارامتر θ از رابطه ۱۱ بدست می‌آید:

$$\theta = \sin^{-1} \left(\frac{\sin \varphi_m - \sin \varphi_{cv}}{1 - \sin \varphi_m \sin \varphi_{cv}} \right) \quad (11)$$

در روابط ۱۰ و ۱۱، $\psi_0 \leq +90^\circ$ و P یک عدد حقیقی مشتبث است.

پارامتر P و همچنین زاویه اتساع اولیه (ψ_0)، می‌توانند براساس آزمایش‌های سه‌محوری تعیین شوند. در شکل ۴، تغییرات زاویه اتساع بسیج شده با کرنش خمیری برای مقادیر متفاوت P براساس رابطه ۱۰ ارائه شده است. مطابق شکل -۷ مذکور، زاویه اتساع بسیج شده از یک مقدار اولیه (ψ_0)، -25° و -62° و -80°

استفاده شده است (معادله ۱)، که اعتبار آن در برخی مطالعات، [۲۲، ۲۴] برای انواع خاک‌ها و سنگ‌ها تحت شرایط متفاوت آزمایشگاهی و صحرابی به اثبات رسیده است:

$$E = K P_a \left(\frac{\sigma_2}{P_a} \right)^n \quad (1)$$

در این معادله، E مدول یانگ، K پارامتر مدول کشسان، P_a فشار اتمسفر و n توان وابستگی مدول به تنش همه‌جانبه هستند. ضریب پواسون با توجه به شبیه اولیه می‌نودار کرنش حجمی کرنش محوری محاسبه شده است. با توجه به شکل‌های ۲ و ۳، برای مصالح سنجگریزه‌یی مورد آزمایش ثابت (برابر با ۱/۰) است. این مقدار در محدوده رفتار کشسان، منجر به نتایج قابل قبولی می‌شود.

۲.۳. سطوح تسلیم و توابع پتانسیل

رفتار سخت‌شوندگی در مدل رفتاری مذکور با استفاده از تغییر پارامترهای موهر-کولمب به صورت تابعی از کرنش برشی خمیری تعریف شده است. سطح تسلیم در این مدل براساس روابط ۲ و ۳ تعریف شده است:

$$f^s = \sigma_1 - \sigma_2 \frac{1 - \sin \varphi_m}{1 + \sin \varphi_m} + 2c_m \sqrt{\frac{1 - \sin \varphi_m}{1 + \sin \varphi_m}} \quad (2)$$

$$f^t = \sigma_m^t - \sigma_2 \quad (3)$$

در این روابط، f^s و f^t به ترتیب توابع تسلیم برشی و کششی، σ_1 و σ_2 تنش‌های اصلی بزرگتر و کوچک‌تر هستند. همچنین φ_m ، c_m و σ_m^t به ترتیب زاویه اصطکاک بسیج شده، زاویه اتساع بسیج شده و مقاومت کششی بسیج شده در مدل هستند. قانون جریان در برش از نوع غیر وابسته و در کشش از نوع وابسته است. توابع پتانسیل خمیری به صورت روابط ۴ و ۵ در مدل تعریف شده‌اند:

$$Q^S = \sigma_1 - \sigma_2 \frac{1 - \sin \psi_m}{1 + \sin \psi_m} \quad (4)$$

$$Q^t = -\sigma_2 \quad (5)$$

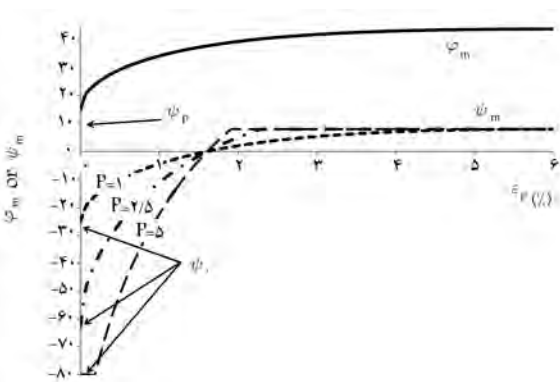
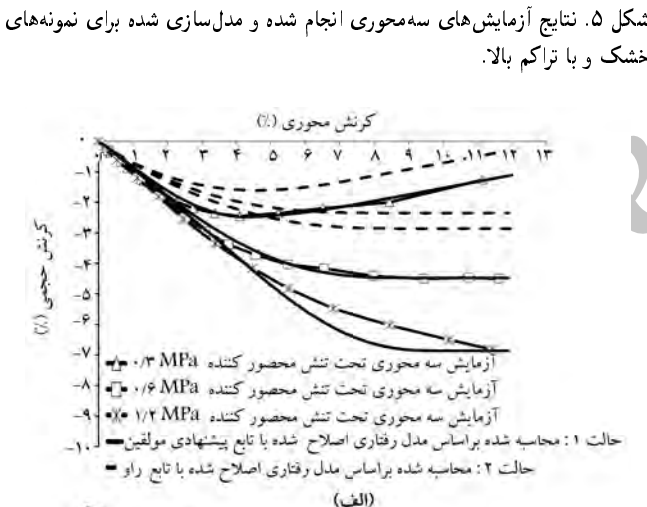
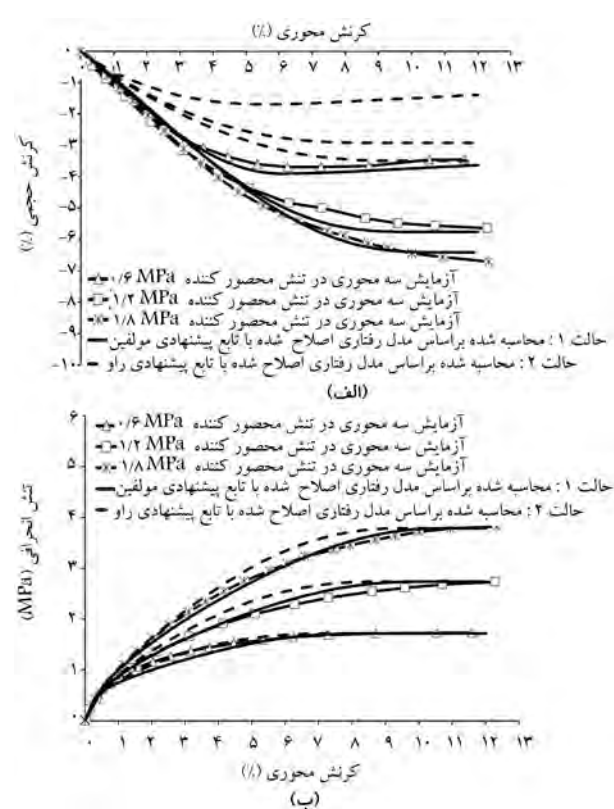
که در آن، ψ_m زاویه اتساع بسیج شده است. در توابع پتانسیل مفروض هم رفتار سخت‌شوندگی و هم رفتار نرم‌شوندگی با توجه به تغییر در زاویه اتساع بسیج شده قابل مدل‌سازی خواهد بود. در مصالح سنجگریزه‌یی، سخت‌شوندگی اصطکاکی و رفتار اتساعی مصالح بر پایه مفهوم پارامترهای بسیج شده تعریف شده است. این فرایند در ادامه تشریح شده است.

۳.۳. سخت‌شوندگی اصطکاکی

در سال ۱۹۸۴، رابطه ۶ برای سخت‌شوندگی اصطکاکی برای مصالح ژوتکنیکی پیشنهاد شده است.^[۲۲] در این رابطه زاویه اصطکاک بسیج شده (φ_m) به کرنش برشی خمیری (ε_p) وابسته است و تا رسیدن به مقدار بیشینه (φ_p)، به تدریج افزایش می‌یابد.

$$\sin \varphi_m = \begin{cases} \frac{\sqrt{\varepsilon_p \times \varepsilon_f}}{\varepsilon_p + \varepsilon_f} \sin \varphi_p & \text{for } \varepsilon_p \leq \varepsilon_f \\ \sin \varphi_p & \text{for } \varepsilon_p > \varepsilon_f \end{cases} \quad (6)$$

در این رابطه، ε_p کرنش خمیری در زاویه اصطکاک بیشینه (φ_p) است.



شکل ۴. تغییرات زاویه های اصطکاک و اتساع بسیج شده با تغییرات ضریب P .

درجه به ترتیب برای مقادیر P معادل با: ۱، ۲/۵ و ۵) تا مقدار بیشینه (ψ_p) افزایش یافته است. پارامتر P ، کنترل کننده میران انحنای این منحنی است. در ادامه، کارایی مدل رفتاری با تابع پتانسیل برای مصالح سنگریزه سد مسجد سلیمان بررسی شده است. در مدل مطرح شده، کرنش های حجمی ناشی از شکست ذرات با مفهوم تغییر در زاویه ای اتساع بسیج شده مدل سازی شده است. شکل ۴ نشان می دهد که افزایش پارامتر P سبب کاهش زاویه ای اتساع بسیج شده می شود. بنابراین نمونه های با پتانسیل شکست ذرات بیشتر ضریب P بالاتری خواهند داشت. پارامتر ψ ، کنترل کننده زاویه ای اتساع اولیه است.

۴. شبیه سازی عددی

مدل سازی عددی آزمایش سه محوری با استفاده از نرم افزار FLAC صورت گرفته است. کلیه توابع معرفی شده در بخش قبل با استفاده از قابلیت برنامه نویسی نرم افزار (FISH) به مدل رفتاری اعمال شده است. مدل سازی بر روی یک تک المان در شرایط تقارن محوری با درنظر گرفتن شرایط مرزی مناسب انجام شده است. برنامه نوشته شده در هرگام از تحلیل، کرنش های برخی خمیری را محاسبه و براساس توابع تعریف شده، کلیه پارامترهای مدل را به روز رسانی می کند. براساس روش ذکر شده، کلیه آزمایش های سه محوری مدل سازی شده و پارامترهای نهایی به شرح جدول ۲ به دست آمده اند. کلیه پارامترها به جز C و ۷ که به ترتیب چسبنده و ضریب پواسون کشسان هستند، در بخش ۳ معرفی شده اند.

۱۰. نتایج شبیه سازی

منحنی های تنش انجرافی و کرنش حجمی در برابر کرنش محوری حاصل از آزمایش ها و مدل عددی برای شرایط متفاوت اولیه در شکل های ۵ الی ۷ ارائه شده اند. نمودارها در حالت ارائه شده اند: حالت اول، تابع پتانسیل نتایج مدل عددی بر پایه تابع پیشنهادی راو (رابطه ۸)، [۲۲] به مدل معرفی شده است. با توجه به شکل های ۵ الی ۷ می توان دریافت که به علت وجود کرنش های بالای حجمی ناشی از شکست ذرات، مدل سازی براساس تابع پتانسیل پیشنهادی راو دقت کافی در مدل سازی رفتار حجمی مصالح سنگریزی ندارد، در حالی که تابع پیشنهادی مؤلفان پژوهش حاضر سبب افزایش کارایی شبیه سازی مدل رفتاری اصلاح شده به ویژه در حوزه کرنش های حجمی شده است. لازم به ذکر است که کلیه پارامترهای مدل به جز پارامترهای P و ψ در دو حالت تحلیل مشابه در نظر گرفته شده اند (جدول ۲).

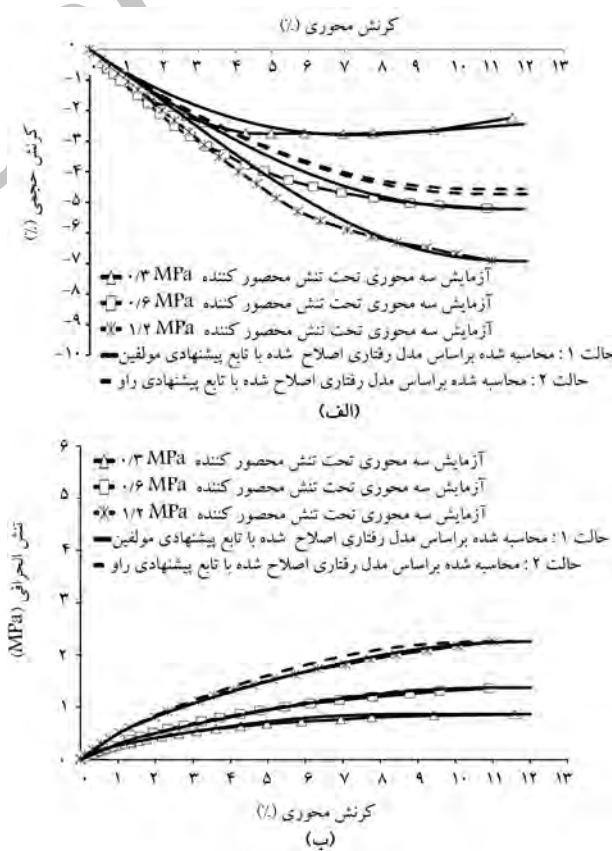
جدول ۲. پارامترهای مدل رفتاری اصلاح شده نمونه‌های مصالح سنگریز.

اشباع، تراکم		خشک، تراکم بالا	پارامتر
متوجه	بالا	تراکم بالا	
۱/۸	۲	۲	$\rho \left(\frac{gr}{cm^3} \right)$
۰,۲۷	۰,۷۴	-۰,۱۲	n
۴۶۸	۵۵۶	۳۶۷۲	K
۰,۱	۰,۱	۰,۱	ν
۱۵	۲۵	۶۵	$c \left(\frac{kN}{m^2} \right)$
۶	۶	۶	$\varepsilon_t (\%)$
۱	۱	۱	m
$۰,۳۷ \left(\frac{\sigma_r}{P_a} \right) - ۰,۳۷۵$	$۷,۷ \left(\frac{\sigma_r}{P_a} \right) + ۰,۲۵$	۵	P
-۸°	-۸°	-۸°	ψ
$۵۲,۶ - ۱۱,۳ \log \left(\frac{\sigma_r}{P_a} \right)$ $\begin{cases} ۲,۵ & \frac{\sigma_r}{P_a} \leq ۳ \\ ۰,۰ & \frac{\sigma_r}{P_a} > ۶ \end{cases}$	$۵۵ - ۱۱,۱ \log \left(\frac{\sigma_r}{P_a} \right)$ $\begin{cases} ۰,۵ & \frac{\sigma_r}{P_a} \leq ۳ \\ ۰,۰ & \frac{\sigma_r}{P_a} > ۶ \end{cases}$	$۵۱,۳ - ۷ \log \left(\frac{\sigma_r}{P_a} \right)$ $\begin{cases} ۱,۵ & \frac{\sigma_r}{P_a} \leq ۶ \\ ۰,۰ & \frac{\sigma_r}{P_a} > ۶ \end{cases}$	φ_p ψ_p
$۲۲ - ۶,۶ \log \left(\frac{\sigma_r}{P_a} \right)$	$۴۱,۹ - ۳,۰ \log \left(\frac{\sigma_r}{P_a} \right)$	$۳۲,۶ - ۱۶,۶ \log \left(\frac{\sigma_r}{P_a} \right)$	φ_0

به طور کلی مدول کشسان برای نمونه‌های اشباع کمتر از نمونه‌های خشک بوده است. این کاهش مدول برای نمونه‌های با تراکم بیشتر قابل توجه‌تر است. معمولاً در مصالح، مدول کشسان با افزایش تنش همه‌جانبه افزایش می‌یابد. این رفتار در نمونه‌های اشباع به‌خوبی قابل رویت است، در حالی که جدول ۲ نشان می‌دهد برای نمونه‌های خشک با افزایش تنش همه‌جانبه، مدول کشسان کاهش یافته است (توان n منفی است). این واقعیت می‌تواند ناشی از آن باشد که شکست ذرات در مصالح خشک شدیدتر از مصالح اشباع است. شاخص شکست مارشال (B_g) را نشان دهد در جدول ۱ گواه این مدعای است. در همه آزمایش‌ها، در مقادیر تنش همه‌جانبه بین زاویه‌ی اشباع پیشینه (ψ_p) مقداری بزرگ تر از صفر دارد، در حالی که مقدار این زاویه در تنش‌های جانبه زیاد معادل صفر است. پارامتر P با افزایش تنش همه‌جانبه افزایش می‌یابد. همچنین برای یک فشار جانبه و تراکم برابر، مقدار پارامتر P در نمونه‌های خشک بیش از نمونه‌های اشباع است. در مجموع نتایج حاکی از آن است که پدیده‌ی شکست ذرات، نقش تعیین کننده‌ی بر رفتار تغییر شکلی مصالح سنگریزه‌ی دارد.

۵. کارایی مدل رفتاری اصلاح شده در سازه‌ی واقعی

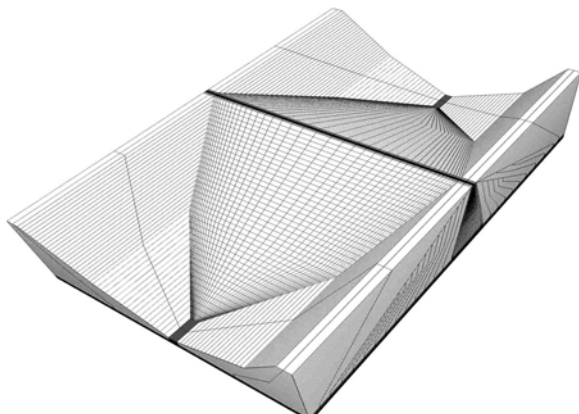
در این بخش، کارایی مدل رفتاری اصلاح شده در مقیاس واقعی با تحلیل عددی سد مسجد سلیمان در دوران ساخت ارزیابی شده است. سیستم ابزار دقیق مناسب برای این سد طراحی و نصب شده است. در شکل ۸، مقطع اصلی سد و موقعیت ابزارهای سالم آن تا انتهای ساخت ارزیاب شده است. بوسته‌های سد (نواحی ۳B، ۳A و ۳C) از مصالح سنگریزه‌ی با پتانسیل بالای شکست ذرات تشکیل شده است. آزمایش‌های سه محوری بزرگ مقیاس شرح داده شده در بخش قبل بر روی مصالح



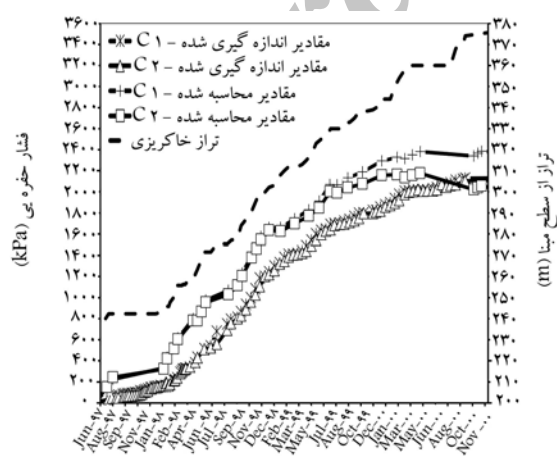
شکل ۷. نتایج آزمایش‌های سه محوری انجام شده و مدل سازی شده برای نمونه‌های اشباع و با تراکم متوسط.

جدول ۳. پارامترهای مدل رفتاری اصلاح شده برای بخش‌های مختلف بدنهٔ سد مسجد سلیمان.

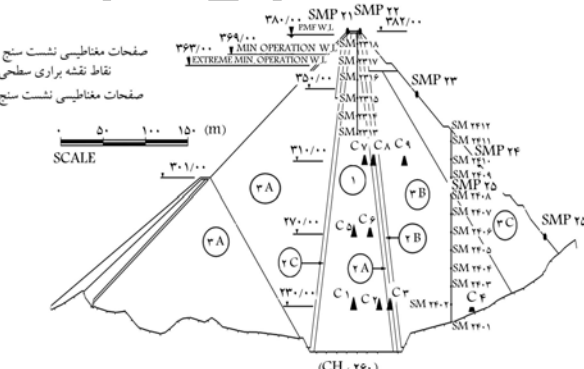
پارامتر	$\rho(\frac{gr}{cm^3})$	۳B	۲A	۲C و ۲B	هسته
n	$\circ, 8$	$\circ, 0$	1	$2, 1$	$1, 89$
K	120	1663	138	$1, 9$	$\circ, 8$
ν	$\circ, 15$	$\circ, 1$	$\circ, 15$	$\circ, 1$	$\circ, 15$
$c(\frac{kN}{m^3})$	30	20	10	20	$1, 0$
$\varepsilon_f(%)$	10	$8, 5$	$8, 5$	$8, 5$	1
m	1	1	1	1	1
P	1	$2, 5$	$2, 5$	$2, 5$	-80
ψ_s	-80	-80	-80	-80	30
φ_p	$46/3 - \circ, 8 log(\frac{\sigma_r}{P_a})$	$45 - 6, 64 log(\frac{\sigma_r}{P_a})$	$422 - \circ, 64 log(\frac{\sigma_r}{P_a})$	$46/3 - \circ, 8 log(\frac{\sigma_r}{P_a})$	$\circ, 8$
ψ_p	$1/10 - \circ, 83 log(\frac{\sigma_r}{P_a})$	$\circ, 0$	$\circ, 0$	$1/10 - \circ, 83 log(\frac{\sigma_r}{P_a})$	$\circ, 0$
φ_0	$30 - 2, 8 log(\frac{\sigma_r}{P_a})$	$39/7 - 2, 7 log(\frac{\sigma_r}{P_a})$	$34/2 - 2, 0 log(\frac{\sigma_r}{P_a})$	$30 - 2, 8 log(\frac{\sigma_r}{P_a})$	$\circ, 0$

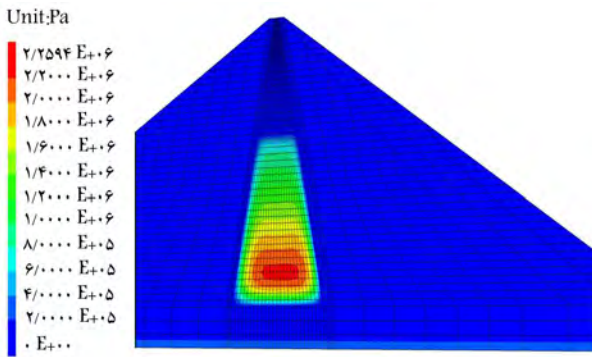


شکل ۹. هندسه‌های سه‌بعدی المان‌بندی شدهٔ سد مسجد سلیمان.



شکل ۱۰. تغییرات مقادیر محاسبه شده و اندازه‌گیری شدهٔ پیزومترهای الکتروکی نصب شده در تراز $230 + 230$ در مقطع اصلی سد مسجد سلیمان.





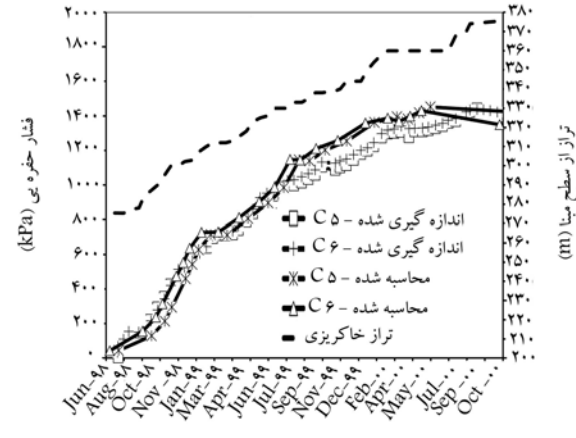
شکل ۱۰. توزیع کنتوری فشار خفره‌یی در مقطع اصلی سد مسجد سلیمان در انتهای ساخت.

شده در سد مذکور در زمان ساخت است، که عمدتاً به رطوبت اجرایی بین از بهینه در هسته (حدود ۲٪ بیشتر)، نفوذپذیری بسیار کم هسته و همچنین سرعت سریع ساخت نسبت داده می‌شود. با توجه به اینکه وجود پتانسیل بالای شکست ذرات مصالح پوسته سد، نقش تعیین کننده‌یی در وقوع تغییر شکل‌های بزرگ سد مسجد سلیمان داشته است، تطابق مناسب نتایج مدل عددی و نتایج محاسبه شده در تراز +۲۷۰ در مقطع اصلی سد مسجد سلیمان.

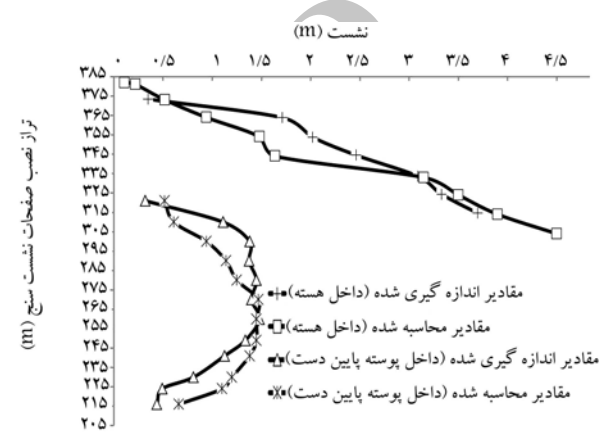
۶. نتیجه‌گیری

تمرکز اصلی پژوهش حاضر بر ارائه یک رویکرد برای شبیه‌سازی عددی رفتار پیچیده‌یی مصالح سنگریزه‌یی با توجه ویژه به تغییرات حجمی ناشی از پدیده‌ی شکست ذرات در شرایط بارگذاری برشی بوده است. در این رویکرد از یک مدل رفتاری کشسان خمیری سخت‌شونده/نم‌شونده بر پایه‌یی پارامترهای بسیج شده استفاده شده است. برای شبیه‌سازی مناسبتر رفتار انقباضی مصالح با خردشدنی شدید، رابطه جدیدی برای تغییرات زاویه‌یی اتساع بسیج شده در برابر کرنش برشی خمیری در تابع پتانسیل این مدل رفتاری لحظه شده است. در پژوهش حاضر، ابتدا کارایی مدل اصلاح شده‌یی مذکور در شبیه‌سازی عددی دسته‌یی از آزمایش‌های سه‌محوری بزرگ مقیاس روی مصالح سنگریزه‌یی پوسته‌یی سد مسجد سلیمان که پتانسیل خردشدنی بالایی دارند، ارزیابی شده است. در ادامه، کارایی آن در برآورد کمیت‌های رفتاری (تغییر شکل، فشار خفره‌یی و ...) یک سازه‌یی واقعی متشکل از مصالح سنگریزه‌یی با پتانسیل خردشدنی شدید ذرات نظیر سد مسجد سلیمان بررسی شده است. نتایج ارزیابی‌ها نشان می‌دهد که هر چند افزودن پارامترهای جدید به مدل سبب افزایش پیچیدگی آن شده است، اما مدل رفتاری اصلاح شده دارای دقت قابل توجهی در شبیه‌سازی رفتار تغییرشکلی مصالح سنگریزه‌یی با پتانسیل بالای شکست ذرات است.

در انتهای لازم است ذکر شود که رویکرد ارائه شده در نوشتار حاضر با موفقیت جهت شبیه‌سازی کرنش‌های حجمی ناشی از شرایط بارگذاری برشی به کار گرفته شده است؛ بنابراین، بدینه‌ی است شبیه‌سازی شکست ذرات در شرایط تنشی متفاوت می‌تواند موضوع مطالعات تکمیلی آنی باشد.

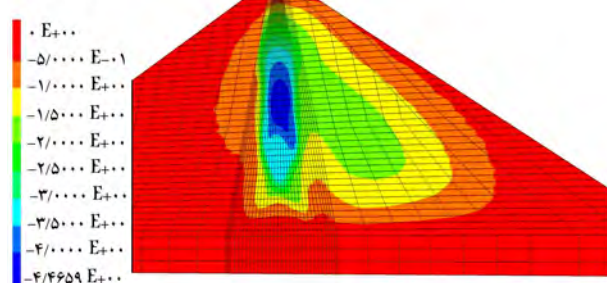


شکل ۱۱. تغییرات مقادیر محاسبه شده و اندازه‌گیری شده در پیزومترهای الکترونیکی نصب شده در تراز +۲۷۰ در مقطع اصلی سد مسجد سلیمان.



شکل ۱۲. پروفیل قائم نشست اندازه‌گیری شده و محاسبه شده در راستای محور سد و در پوسته‌یی پایین دست مقطع اصلی سد مسجد سلیمان و در انتهای ساخت.

Unit: Meter



شکل ۱۳. توزیع کنتوری نشست در مقطع اصلی سد مسجد سلیمان در انتهای ساخت.

همچنین مقادیر نشست حاصل از تحلیل عددی و مقادیر اندازه‌گیری شده حاصل از ابزار دقیق در روی محور سد و نیز پوسته‌یی پایین دست در شکل ۱۲ نمایش داده شده است. در شکل‌های مذکور، تطابق مناسبی بین نتایج تحلیل عددی و مقادیر اندازه‌گیری شده مشاهده می‌شود. منحنی‌های هم‌تراز فشار آب منفذی و نشست قائم برای مقطع بیشینه‌یی سد (مقطع ۲۶۰) در شکل‌های ۱۳ و ۱۴ مشاهده می‌شود. فشار آب منفذی بسیار زیاد در هسته‌یی سد از موارد مشاهده

منابع (References)

1. Marsal, R.J. "Large scale testing of rock fill materials", *Journal of Soil Mechanics and Foundation Division*, **93**(2), pp. 27-43 (1967).
2. Fumagalli, E. "Tests on cohesion less materials for rockfill dams", *Journal of Soil Mechanics and Foundation Division*, **95**(1), pp. 313-332 (1969).
3. Bertacchi, P. and Bellotti, R. "Experimental research on materials for rockfill dams", *10th Int. Congress on Large Dams, ICOLD, Montreal, Q36*, pp. 511-529 (1970).
4. Fumagalli, E., Moscini,B. and Rossi , P.P. "Laboratory tests on materials and static models for rockfill dams", *10th Congress on Large Dams, ICOLD, Montreal*, pp. 531-551 (1970).
5. Billam, J. "Some aspects of the behavior of granular materials at high pressures. Stress-strain behavior of soils", *Proc. Roscoe Memorial Symp., G.T. Foulis and Co. Ltd.*, pp. 69-80 (1971).
6. Marachi, N.D., Chan, C.K. and Seed, H.B. "Evaluation of properties of rockfill materials", *Journal of Soil Mechanics and Foundation Division*, **98**(1), pp. 95-114 (1972).
7. Marsal, R.J. *Mechanical Properties of Rockfill*, in: R.C. Hirshfeld, S.J. Poulos (Eds.), *Embankment-Dam Engineering*, Casagrande Volume, John Wiley & Sons Inc., N.Y, pp. 109-200 (1973).
8. Indraratna, B., Wijewardena, L.S.S. and Balasubramaniam, A.S. "Large-scale triaxial testing of greywacke rockfill", *Geotechnique*, **43**(1), pp. 37-51 (1993).
9. Lade, P.V., Yamamoto, J.A. and Bopp, P.A. "Significance of particle crushing in granular materials", *Journal of Geotechnical Engineering*, **122**(4), pp. 309-316 (1996).
10. Oldecop L.A. and Alonso, E.E. "A model for rockfill compressibility", *Geotechnique*, **51**(2), pp. 127-139 (2001).
11. Varadarajan, A., Sharma, K., Venkatachalam, K. and Gupta, A. "Testing and modeling two rockfill materials", *J. Geotech. Geoenviron. Eng.*, **129**(3), pp. 206-218 (2003).
12. Meidani, M., Shafiee, A., Habibagahi, G., Jafari, M.K., Mohri, Y., Ghahramani, A. and Chang, C.S. "Granule shape effect on the shear modulus and damping ratio of mixed gravel and clay", *Iranian Journal of Science and Technology, Trans. B. Engineering*, **32**(5), pp. 501-518 (2008).
13. Vasistha, Y., Gupta, A.K. and Kanwar, V. "Medium triaxial testing of some rockfill materials", *Electron. J. Geotech. Eng. (EJGE)*, **18**, pp. 923-964 (2013).
14. Duncan, J.M. and Chang, C.Y. "Nonlinear analysis of stress and strain in soils", *Journal of Soil Mechanics and Foundation Division*, **96**(5), pp. 1629-1653 (1970).
15. Lade, P.V. and Duncan, J.M. "Elastoplastic stress-strain theory for cohesionless soil", *Journal of the Geotechnical Engineering Division*, **101**(GT10), pp. 1037-1053 (1975).
16. Nova, R. and Wood, D.M.A. "Constitutive model for sand in triaxial compression", *International Journal for Numerical and Analytical Methods in Geomechanics*, **3**(3), pp. 255-278 (1979).
17. Lade, P.V. and Kim, M.K. "Single hardening constitutive model for soil, rock and concrete", *International Journal of Solids and Structures*, **32**(14), pp. 1963-1978 (1995).
18. Guo, R. and Li, G. "Elasto-plastic constitutive model for geotechnical materials with strain-softening behaviour", *Computers and Geotechnics*, **34**(1), pp. 14-23 (2008).
19. Kulhawy, F.H. and Duncan, J.M. "Stresses and movements in oroville dam", *Journal of Soil Mechanics and Foundation Engineering Division*, **98**(7), pp. 653-665 (1972).
20. Escuder, I., Andreu, J. and Rechea, M. "An analysis of stress-strain behaviour and wetting effects on quarried rock shells", *Canadian Geotechnical Journal*, **42**(1), pp. 51-60 (2005).
21. Desai, C.S. and Toth, J. "Disturbed state constitutive modeling based on stress-strain and nondestructive behavior", *International Journal of Solids and Structures*, **33**(11), pp. 1619-1650 (1996).
22. Desai, C.S. *Mechanics of Materials and Interfaces: The Disturbed State Concept*, CRC Press (2001).
23. Varadarajan, A., Sharma, K.G., Abbas, S.M. and Dhawan, A.K. "Constitutive model for rockfill materials and determination of material constants", *International Journal of Geomechanics*, **6**(4), pp. 226-237 (2006).
24. Bandini, V. and Coop, M.R. "The influence of particle breakage on the location of the critical state line of sands", *Soils Found.*, **51**(4), pp. 591-600 (2011).
25. Honkanadavar, N.P., Gupta, S.L. and Ratnam, M. "Effect of particle size and confining pressure on shear strength parameter of rockfill materials", *Int. J. Adv. Civ. Eng. Architec.*, **1**(1), pp. 49-63 (2012).
26. Xiao, Y., Liu, H., Chen, Y. and Jiang, J. "Strength and deformation of rockfill material based on large-scale triaxial compression tests. II: Influence of particle breakage", *J. Geotech. Geoenviron. Eng.*, **140**(12), pp. 0401470 (1-16) (2014).
27. Russell, A.R. and Khalili, N. "A bounding surface plasticity model for sands exhibiting particle crushing", *Canadian Geotechnical Journal*, **41**(6), pp. 1179-1192 (2004).
28. Veiskarami, M., Ghorbani, A. and Alavipour, M.R. "Development of a constitutive model for rockfills and similar granular materials based on the disturbed state concept", *Front. Struct. Civ. Eng.*, **6**(4), pp. 365-378 (2012).
29. Salim, W. and Indraratna, B. "A new elastoplastic constitutive model for coarse granular aggregates incorporating particle breakage", *Canadian Geotechnical Journal*, **41**(4), pp. 657-671 (2004).
30. Xiao, Y., Liu, H., Chen, Y., Jiang, J. and Zhang, W. "Testing and modeling of the state-dependent behaviors of rockfill material", *Computers and Geotechnics*, **61**, pp. 153-165 (2014).
31. Itasca consulting group, *FLAC; Fast Lagrangian Analysis of Continua*, Minneapolis, Minnesota, USA (2011).
32. Moshanir Power Engineering Consultants, *Review on Additional Laboratory Tests on Materials of Masjed-e-Soleyman Dam*, Tehran, Iran (1996).

33. Rowe, P.W. "Stress-dilatancy, earth pressure and slopes", *Journal of Soil Mechanics and Foundation Division*, **89**(5), pp. 37-46 (1963).
34. Hazen, A. *Discussion of Dam on Sand Foundation*, by A.C. Koenig, Transaction, New York, N.Y. (1911).
35. Leslie, D.D. "Large scale triaxial tests on gravelly soils", *Proceeding of the 2nd Pan-American Conference on Soil Mechanics and Foundation Engineering*, Brazil, **1**, pp. 181-202 (1963).
36. Lee, K.L. and Farhoomand, I. "Compressibility and crushing of granular soils in anisotropic triaxial compression", *Canadian Geotechnical Journal*, Ottawa, Canada, **4**(1), pp. 68-86 (1967).
37. Miura, N. and O-hara, S. "Particle crushing of decomposed granite soil under shear stresses", *Soils and Foundations*, **19**(3), pp. 1-14 (1979).
38. Hardin, B.O. "Crushing of soil particles", *Journal of Geotechnical Engineering*, **111**(11), pp. 1177-1192 (1985).
39. Indraratna, B. and Salim, W. "Modelling of particle breakage of coarse aggregates incorporating strength and dilatancy", *Proceedings of the Institution of Civil Engineers*, London, **155**(4), pp. 243-252 (2002).
40. Aghaei, A., Soroush, A. and Rayhani, M. "Large-scale triaxial testing and numerical modeling of rounded and angular rockfill materials", *ScientiaIranica, Transaction A: Civil Engineering*, Sharif University of Technology, **17**(3), pp. 169-183 (2010).
41. Soroush, A. and Jannatiaghdam, R. "Behavior of rockfill materials in triaxial compression testing", *Iran, International Journal of Civil Engineering, Technical Note*, **10**, pp. 153-161 (2012).
42. MahinRoosta, R. and Alizadeh, A. "Simulation of collapse settlement in rockfill material due to saturation", *Iran, International Journal of Civil Engineering*, **10**(2), pp. 125-13 (2012).
43. Vermeer, P.A. and De Borst, R. "Non-associated plasticity for soils, concrete and rock", *Heron*, **29**(3), pp. 3-62 (1984).
44. Pagano, L., Sica, S. and Desideri, A. "Representativeness of measurements in the interpretation of earth dam behavior", *Canadian Geotechnical Journal*, **43**(1), pp. 87-99 (2006).

Archive of SID